

足利工大 正員 上岡 充男  
正員 岩崎 敏夫

### 1. はしがき

跳水の内部機構について Resch, Leutheusser and Alemu や Hager and Hutter らの注目すべき提案がなされているが、現状では問題解決には程遠い。それは恐らく気泡を混入した高速水流域の測定が困難である為と考えられる。我々は独自な測定方法を用いて4年間程測定を続け一応の成果を得たのでここに報告する。

### 2. 実験装置と実験方法

実験に用いた水路は幅1.0m、長さ18.0m、高さ1.0mの鋼製水路でほぼ中央に高さ $W_1=80\text{cm}$ 、天端幅 $B=30\text{cm}$ 、表法勾配1:1.5、裏法勾配1:2.0の台形せきを設けた。側壁には縦横5cmの碁盤目の計測線を設けてある。表-1に実験における減勢値の理想跳水との比較を示す。表に示された記号は上流フルード数 $F_1$ 、下流水深 $h_2$ 、共役水深 $h_d$ および実験における減勢値の理想跳水におけるそれとの比率Kをしめす。すなはちフルード数はほぼ一定であるが、下流水深が大きくなる程減勢率は小さくなる。

表-1

ケース	$F_1$	$h_2/h_d$	K
1	8.30	1.50	0.89
2	8.32	1.88	0.82
3	8.35	2.46	0.68
4	8.35	2.77	0.62
5	8.35	3.15	0.54
6	8.35	3.63	0.44
7	8.35	4.07	0.34

### 3. 流況の観測および跳水内部のサブ領域

図-1に目視による跳水内部の気泡混入ならびに渦、流線の挙動の一例を示す。これはケース3の場合であるが射流と跳水始端の接触点aより極めて激しい高流速のジェットが跳水下面に突入する。a-a', a-a''は zone of flow establishment に類似の領域である。気泡は次いで大きい楕円形を描きながら水面に達する。従ってこの気泡浮上域では水平方向の運動量と垂直上方に向かう浮力とによって気泡の運動が説明される。b<sub>1</sub>の部分は反転して上流に向かい反時計回りの循環が形成される。その循環内部にはdに於てK-H不安定渦列が形成されている。他方b<sub>2</sub>の部分の水粒子はゆるやかに下流にむかうが、気泡はそのまま水面に達し、なお残った気泡は輸送されつつ水面で消散する。これより跳水内部は次ぎの6流域にわけられる。

- I. ポテンシャルコアの部分
- II. 気泡の混入する乱流境界層
- III. 循環域
- IV. K-H不安定渦列域
- V. 気泡浮上域
- VI. 下流静水域

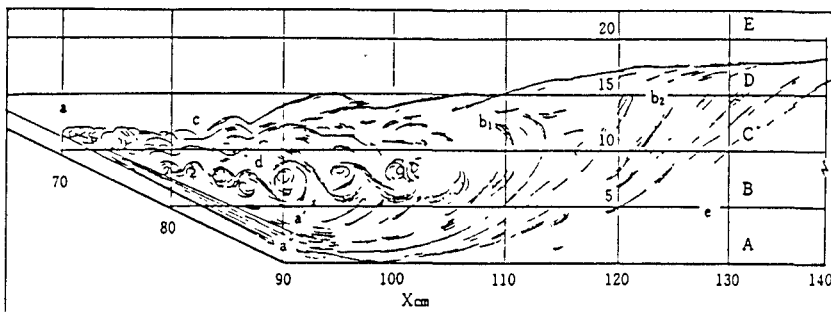


図-1 跳水内部気泡混入ならびに渦、流線の挙動

$h_2/h_d$  が大きくなるにつれて KH 不安定域が弱くかつ小さくなってくる。乱流境界層の厚さは厚くなってくる。循環域の大きさも大きくなり、気泡浮上域は上流に上がってくる。これらのことより跳水におけるエネルギー損失の主役は KH 不安定渦列であることがわかる。しかしこの渦の発生は極めて瞬間的で毎秒 30 コマのビデオの 1 コマに写っていても次ぎのコマでは消散している。ウォーターランマーでは気泡の破裂の際に表面張力がなす仕事がエネルギー消散の主役であるが、跳水ではそのようなことはない。

ある時間内に気泡に占められる時間の比率をボイド率とよぶことにし、Kanomax 社製二層流信号処理器により跳水内のボイド率を測定したところ、その分布曲線は気泡の軌跡にほぼ一致した。このことは、気泡が破裂せずに水面に達することを示している。実験によれば跳水始点より始めて、跳水表面に沿うボイド率 C の分布は次式で示される。

$$C = (18.36 - 3.655(h_2/h_d)) \exp(-1.7x)$$

ここに x は跳水始点よりの距離 c m である。この式は勿論跳水の実規模と密接な関係があるとはいえる、示唆的である。例えば完全跳水の時には  $c = 14.71\%$  となる。また不完全度を増すにつれて c の値は減少する。従って跳水におけるエネルギー減殺のひとつの機構は気泡の巻き込みによるものと考えられる。しかし x の増加による c の減少はさきに述べたように気泡の浮上によるものであり、実験が F: 一定の条件で行われたことにより c の x による減少率は  $h_2/h_d$  の値には関係していないことが、これを証明している。

#### 4. 跳水内の流速流向および流向のフラクチャーション

跳水内の機構を調べる為にさらにプローブ式流速計を用いて流速分布を求めた。また側壁に白糸を接着させ毎秒 30 コマの割合でビデオ撮影を行い、一点につき 1024 コの方向角をよみとり、FFT によるスペクトル解析をおこなった。この解析にあたっては、平均の方向角をまず求め、それとの偏差を計算し、その最大偏差との比の自乗によるパワースペクトルを求めた。従って平均方向角の空間分布、最大フレ角の空間分布、標準偏差角の空間分布が得られる。その 1 例を下に示す。流向についてはとくに気泡の動きと異なり気泡浮上域ですでに下流にむかうことが分かった。気泡浮上域と KH 不安定域の境で最大フレ角が大きく循環域の周辺で標準偏差が大きい。従ってエネルギー消散の機構はこの域でのシアーによるものといえよう。

#### 5. 結び

本研究の結果跳水におけるエネルギー消散の機構は KH 不安定域周辺のシアーによることが分かった。これにより今後の理論的展開の緒口がえられた。最後に本研究は足工大大賀賢生、川島隆行、川名聰彦、河野俊夫（昭和 59）青木陽二郎、小野瀬克好、豊田智之（昭和 60）佐藤重信、佐野正貴、山口努（昭和 61）大島正三、門井憲一、林徳成、藤原睦浩（昭和 62）の諸君の熱心な測定に負うところが大であった。ここに記して厚く謝意を表する。

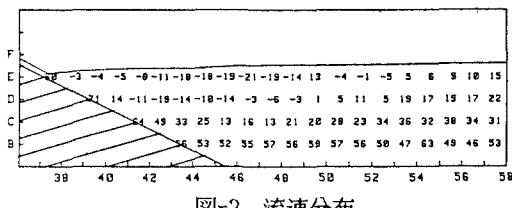


図-2 流速分布

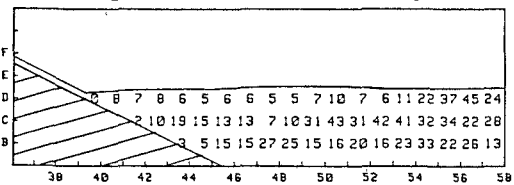


図-4 最大フレ角分布

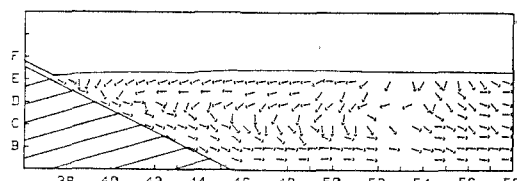


図-3 流向分布

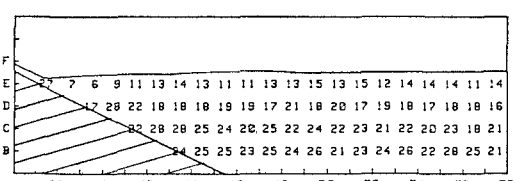


図-5 フレ角標準偏差